

## РАСЧЕТ СОПРОТИВЛЕНИЯ РАСТЕКАНИЯ СТОКА В МОЩНЫХ СВЧ МОП ТРАНЗИСТОРАХ

© 2004 Б. К. Петров, Р. Г. Григорьев, П. А. Меньшиков

Воронежский государственный университет

Для современных типов мощных СВЧ МОП транзисторов с вертикальной структурой и с переменной толщиной подзатворного окисла между истоковыми  $p^-$ -ячейками предложена физическая модель для расчета сопротивления растекания стока. Получены формулы для сопротивления стока как в режиме усиления малого, так и в режиме большого сигнала, а также для предельных значений тока стока с учетом насыщения дрейфовой скорости электронов в  $n^-$ -области стока.

### ВВЕДЕНИЕ

Сопротивление растекания стока в вертикальных СВЧ МОП транзисторах может стать ограничивающим параметром для максимального тока стока наравне с сопротивлением канала. Ранее [1, 2] приводились формулы для расчета сопротивления растекания в мощных вертикальных МОП транзисторах [1, 2], но предложенные модели позволяли производить расчет только в режиме усиления малого сигнала и не отражали реальное значение сопротивления растекания в режиме усиления большого сигнала. Изменение конструктивных и технологических параметров, таких как появление толстого под-

затворного окисла  $d_{SiO_2} = 1 \text{ мкм}$ , (рис. 1, 2) используемого для уменьшения проходной емкости  $C_{sc}$ , также требует создания новых методов расчетов сопротивления растекания в мощных вертикальных МОП транзисторах.

В [1] сопротивление растекания рассчитывается без учета толстого подзатворного окисла, и для случая усиления малого сигнала, когда в  $n^-$ -слое продольная составляющая поля  $E_x < 5 \cdot 10^3 \text{ В/см}$  и дрейфовая скорость электронов не достигает насыщения ( $V_{de} = \mu_n(E) \cdot E < V_{se} = 1 \cdot 10^7 \text{ см/с}$ ), в результате были получены следующие приближенные выражения:

$$R_{c pac} = R_{nap} + R_{IV},$$

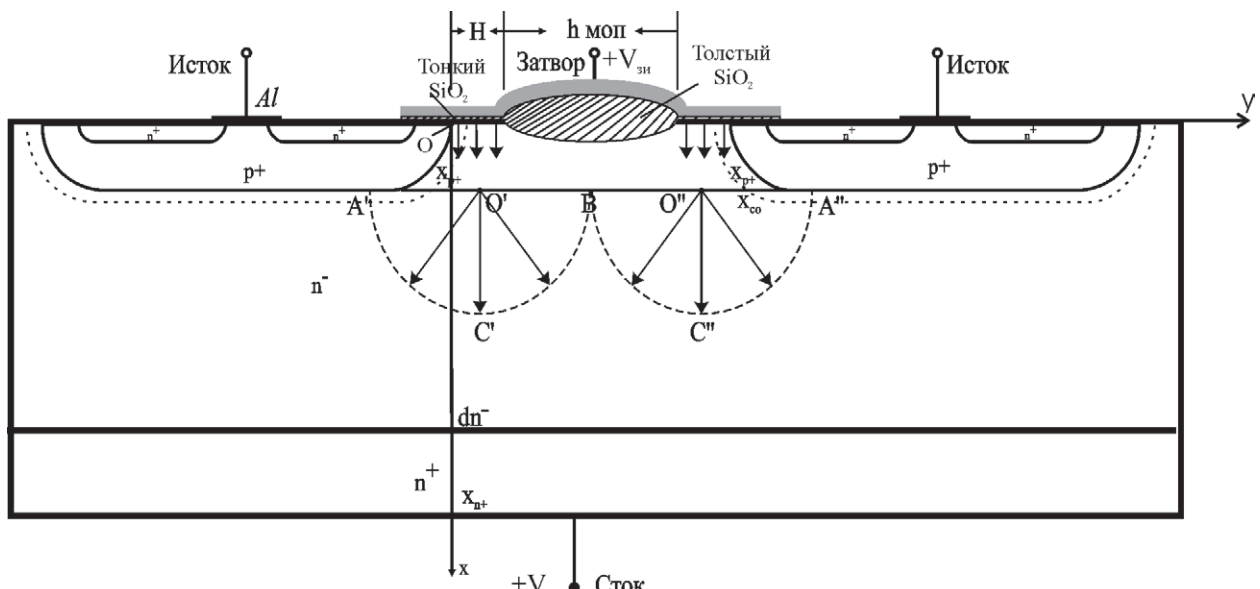


Рис. 1. Поперечное сечение единичной истоковой ячейки

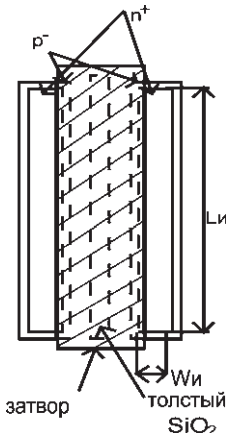


Рис. 2. Топология единичной истоковой ячейки

где  $R_{\text{нап}}$  — сопротивление области паразитного канального транзистора, при  $0 \leq x \leq x_p$  между соседними истоковыми  $p^-$ -ячейками определяемое по формуле:

$$R_{\text{нап}} = \frac{2 \cdot \rho_{n^-}}{Z} \left\{ \left[ 1 - \left( \frac{2 \cdot x_p}{L} \right)^2 \right]^{-1/2} \times \right. \\ \left. \times \operatorname{tg}^{-1} \left[ 0,414 \cdot \left( \frac{L + 2 \cdot x_p}{L - 2 \cdot x_p} \right)^{1/2} \right] - \frac{\pi}{8} \right\};$$

$R_{IV}$  — сопротивление трапециевидной области в  $n^-$ -области стока при  $x_p \leq x \leq x_{n^-}$ , равное:

$$R_{IV} = (\rho_{n^-} / Z) \operatorname{tg}^{-1} \alpha \ln [1 + 2(h_1 / a) \operatorname{tg} \alpha];$$

где  $L$  — длина затворного поликремния,  $Z$  — ширина истоковых ячеек,  $d_n$  — толщина  $n^-$ -слоя,  $x_p$  — глубина залегания истокового  $p-n$  перехода,  $h_1 = d_n - x_p$ ,  $a$  — расстояние между истоковыми ячейками,  $\alpha = 28^\circ - h_1 / a$ .

### РАСЧЕТ СОПРОТИВЛЕНИЯ РАСТЕКАНИЯ СТОКА В СЛАБЫХ ПОЛЯХ

В настоящей работе получены аналитические выражения для  $R_c$  при любых полях в  $n^-$ -слое. На рис. 1 на поверхности боковых участков  $p^+$ -областей существует  $n$ -канал при  $U_{\text{зи}} > U_{\text{пор}}$ , а поверхность  $n^-$ -области при  $0 \leq y \leq H$  и  $H + h \leq y \leq 2H + h$  — слой накопления электронов,  $H$  — длина тонкого затворного окисла  $d_{\text{SiO}_2} < 0,1 \text{ мкм}$ ,  $h$  — длина толстого окисла  $d_{\text{SiO}_2} < 1 \text{ мкм}$ , под которым слой накопления не образуется. При типичных значениях  $H = 2 - 3 \text{ мкм} \geq x_p \leq 2 \text{ мкм}$ ,

можно считать в первом приближении, что электронный ток течет вдоль оси  $0x$  в участках  $0 \leq y \leq H$  и  $H + h \leq y \leq 2H + h$  — строго вниз, то есть области протекания тока — параллелипеды шириной  $Z_1$  ( $Z_1$  — ширина прямоугольных истоковых  $p$ -ячеек перпендикулярно к плоскости рис. 1), длиной  $H$  и толщиной  $x_p$ , вид сверху двух истоковых ячеек приведен на рис. 2.

Поэтому 1-я составляющая сопротивления стока  $R_{\text{ct}}$  при малых полях  $E_x < 5 \cdot 10^3 \text{ В/см}$  (при  $\mu_n = \text{const}$ ) находится из очевидного соотношения:

$$R_{\text{ct1}} = \rho_{n^-} \frac{x_p}{HZN} = \rho_{n^-} \frac{x_p}{H\Pi}, \quad (1)$$

где  $Z \cdot N = 1/2 \cdot \Pi$ ,  $\Pi$  — периметр канала,  $N$  — число истоковых ячеек,  $\rho_{n^-}$  — сопротивление  $n^-$ -слоя,  $x_p$  — толщина  $p$ -слоя.

Падение напряжения на  $U_{\text{ct1}}$  на этой составляющей сопротивления стока  $R_{\text{ct}}$  при заданном токе  $I_{\text{стока}}$  будет равно:

$$U_{\text{ct1}} = I_{\text{стока}} R_{\text{ct}} = I_{\text{стока}} \rho_{n^-} \frac{x_p}{H\Pi}. \quad (2)$$

Теперь вычислим 2-ю составляющую сопротивления растекания стока  $R_{\text{ct2}}$  в области  $n^-$ -слоя от  $x = x_p$  до  $x = x_p + (H + 0,5h)$  (до точек  $C'$  и  $C''$  на рис. 1). Считаем в первом приближении, что в этой части  $n^-$ -слоя имеет место радиальное растекание электронов с центрами полуцилиндров в точках  $O'$  и  $O''$  и внутренним радиусом основания  $r_1 = 0,5H$  и внешним радиусом  $r_2 = 1/2(H + 0,5h)$  (рис. 1).

Тогда электронный ток через цилиндр с радиусом  $r_1 \leq r \leq r_2$  равен:

$$I_n(r) = \pi r j_n(r) 2NZ, \quad (3)$$

причем полный ток стока

$$I_{\text{ct}}(r) = \pi r j_{\text{ct}}(r) 2NZ, \quad (4)$$

причем радиальное распространение тока сохраняется до  $r = r_2 = 0,5H + 0,5h$ .

Причем  $I_n(r) = I_{\text{ct}}$ , следовательно, в результате приравнивания выражений (3) и (4) получим:

$$j_n(r) = j_n(r_1) \frac{r_1}{r}. \quad (5)$$

При  $r = r_2$ , из (5) получим, что  $j_n(r_2) = j_n(r_1) r_1 / r_2 \leq 0,5 \cdot j_n(r_1)$ , поскольку обычно  $r_1 / r_2 \leq 0,5$ , то есть на расстоянии от  $x = x_p$  до  $x = r_2 + x'_p$  плотность тока заметно убывает.

Кроме того если  $E_x \leq 5 \cdot 10^3$  В/см, то

$$j_n(r) = q\mu_n E_2(r)n(r) = q\mu_n E(r)N_{dn}. \quad (6)$$

Подставляем выражение (6) для  $j_n(r)$  в (9) и находим:

$$I_n(r) = I_{ct} = q\mu_n N_{dn} \pi r E_2(r) 2NZ. \quad (7)$$

Из (7) находим поле  $E_2(r)$ :

$$\begin{aligned} E_2(r) &= \frac{I_{ct}}{q \cdot \mu_n \cdot N_{dn} \cdot \pi \cdot r \cdot 2 \cdot N \cdot Z} = \\ &= \frac{I_{ct} \cdot \rho_{n^-}}{2 \cdot \pi \cdot N \cdot Z \cdot r} = \frac{I_{ct} \cdot \rho_{n^-}}{\pi \cdot \Pi \cdot r}. \end{aligned} \quad (8)$$

Следовательно, падение напряжения во второй области стока ( $x \leq x_p \leq 0,5 \cdot (H + h)$ ) будет равно:

$$\begin{aligned} U_{ct2} &= \int_{x_p}^{0,5 \cdot (H+h)} E_2(r) dr = \frac{I_{ct} \cdot \rho_{n^-}}{\pi \cdot \Pi} \int_{x_p}^{0,5 \cdot (H+h)} \frac{1}{r} dr = \\ &= \frac{I_{ct} \cdot \rho_{n^-}}{\pi \cdot \Pi} \ln \left[ \frac{0,5 \cdot (H+h)}{x_p} \right]. \end{aligned} \quad (9)$$

Тогда вторая составляющая сопротивления растекания стока  $R_{ct2}$  будет равна:

$$R_{ct2} = \frac{U_{ct2}}{I_{ct3}} = \frac{\rho_{n^-}}{\pi \cdot \Pi} \ln \left[ \frac{0,5(H+h)}{x_p} \right]. \quad (10)$$

Найдем третью составляющую сопротивления растекания стока  $R_{ct3}$  в области  $x_p + (H + 0,5h) < x < d_n$ . Считаем, что в первом приближении в третьей области имеет место одномерное протекание тока через слой толщиной  $d = d_n - (x_p + (H + 0,5h))$ , где  $d_n$  — толщина  $n^-$ -слоя, длиной  $l \geq 2H + h$  и шириной  $Z$ .

Тогда

$$\begin{aligned} R_{ct3} &\leq \frac{\rho_{n^-} [d_{n^-} - (x_p + (0,5H + h))] }{lZN / 2} = \\ &= \frac{\rho_{n^-} [d_{n^-} - (x_p + (0,5H + h))] }{(2H + h) \cdot \Pi / 2}. \end{aligned} \quad (11)$$

Полное сопротивление растекания стока:  $R_{ct} = R_{ct1} + R_{ct2} + R_{ct3}$ .

Рассмотрим в качестве примера мощный СВЧ МОП транзистор с типичными значениями:  $\rho_{n^-} = 1$  Ом/см,  $N_{dn} = 4 \cdot 10^{15}$  см $^{-3}$ ,  $H = 2,0$  мкм,  $h = 5$  мкм,  $\Pi = 25$  см,  $x_p = 2,0$  мкм,  $d_{n^-} = 2,0$  мкм — толщина  $n^-$ -слоя,  $l = 11$  мкм — расстояние между истоковыми  $p^+$ -ячейками.

$$R_{ct1} = \rho_{n^-} \frac{x_p}{H\Pi} = 0,045 \text{ Ом},$$

$$R_{ct2} = \frac{\rho_{n^-}}{\pi\Pi} \ln \left[ \frac{0,5 \cdot (H + h)}{x_p} \right] = 0,008 \text{ Ом},$$

$$R_{ct3} \leq \frac{\rho_{n^-} [d_{n^-} - (x_p + (0,5H + h))] }{(2H + h) \cdot \Pi / 2} = 0,04 \text{ Ом},$$

$$R_{ct} = R_{ct1} + R_{ct2} + R_{ct3} = 0,092 \text{ Ом}.$$

Из расчетов видно, что первая составляющая сопротивления растекания стока  $R_{ct1}$  вносит существенный вклад в полное значение  $R_{ct} = R_{ct1} + R_{ct2} + R_{ct3}$ .

## РАСЧЕТ СОПРОТИВЛЕНИЯ РАСТЕКАНИЯ СТОКА $R_{ct}$ В СИЛЬНЫХ ПОЛЯХ

При работе СВЧ МОП транзисторов в усилителях мощности амплитуда косинусоидального импульса тока стока может достигать значения максимального тока  $I_{ct \text{ макс}}$ , а в  $n^-$ -слое поле  $E_x$  приближается к значению  $E_{ct} = 2 \cdot 10^4$  В/с,  $V_{de} = 0,9V_{se \text{ нас}} = 0,9 \cdot 10^7$  см/с и падение напряжения  $U_{ct1}$  находится по другой формуле:  $U_{ct1} = E_{kp} \cdot x_p$ . Тогда первая составляющая сопротивления растекания стока будет равна:  $R_{ct1} = U_{ct1} / I_{ct} = E_{kp} x_p / I_{ct}$ . Вторую и третью составляющие сопротивления растекания стока можно насчитывать по тем же формулам, что и случае слабого поля, поскольку согласно формуле (5) в  $n$ -слое при  $x > x_p$   $j_n(r) = 0,5 \cdot j_n(r_2)$  и следовательно  $E_x < 5 \cdot 10^3$  В/см:

$$R_{ct2} = \frac{\rho_{n^-}}{\pi\Pi} \ln \left[ \frac{0,5(H+h)}{x_p} \right], \quad (12)$$

$$R_{ct3} \geq \frac{\rho_{n^-} \cdot [d_{n^-} - (x_p + (0,5H + h))] }{(2H + h) \cdot \Pi / 2}. \quad (13)$$

Рассмотрим следующий численный пример для СВЧ МОП транзистора, с конструктивными параметрами, указанными в предыдущем разделе. Падение напряжения на сопротивлении  $R_{ct}$  при токе  $I_{ct} = I_{ct \text{ макс}} = 32$  А будет равно  $U_{ct} = 4 + 1,524 = 5,524$  В при  $x_p = 2$  мкм кроме того, надо учесть падение напряжения на канале  $U_k \approx 0,5$  В (при  $l_k = 1$  мкм,  $V_{de \text{ кан}} = V_{se \text{ нас}}$ ) и на обогащенном  $n^+$ -слое под тонким затворным окислом

$U_{n^+} = 1/2E_{kp} H = 2,0 \text{ В}$ . Тогда  $U_{\text{ст полн}} = 5,524 + 0,5 + 2,0 \approx 8,024 \text{ В}$ , а первая составляющая сопротивления растекания стока

$$R_{\text{ст1}} = \frac{E_{kp} x_p}{I_{ct}} = \frac{4}{32} \approx 0,125 \text{ Ом}, \text{ что почти в 3 раза}$$

за больше рассчитанного значения в слабых полях,  $R_{\text{ст1}} = 0,045 \text{ Ом}$ , а полное сопротивление стока  $R_{\text{ст}}$  с учетом формул (12), (13) будет равно  $R_{\text{ст}} = 0,173 \text{ Ом}$ .

Ток через  $n$ -канал имеет максимальное значение:

$$I_{\text{скан макс}} = \Pi C_{SiO_2} (V_{zi} - V_{\text{пор}}) V_{se \text{ кан}}, \quad (14)$$

где  $V_{se \text{ кан}} = 5 \cdot 10^6 \text{ см}/\text{с}$  — дрейфовая скорость насыщения носителей в канале [3],

$$C_{SiO_2} = \frac{\epsilon_0 \cdot \epsilon_{SiO_2}}{d_{SiO_2}} \text{ — удельная емкость тонкого}$$

подзатворного окисла.

Ток через  $n^-$ -слой истока имеет максимальное значение:

$$I_{c \text{ макс}} = q V_{se} N_{dn} H\Pi, \quad (15)$$

где  $V_{se} = 1 \cdot 10^7 \text{ см}/\text{с}$  — дрейфовая скорость насыщения носителей в объеме полупроводника [4].

Расчеты показывают, что при  $\Pi = 25 \text{ см}$ ,  $\epsilon_{SiO_2} = 3,85$ ,  $d_{SiO_2} = 0,09 \text{ мкм}$ ,  $V_{zi} - V_{\text{пор}} = 7 \text{ В}$ ,

$V_{zi} - V_{\text{пор}} = 7 \text{ В см}^{-3}$ ,  $H = 2 \text{ мкм}$ ,  $V_{se} = 0,9 \cdot 10^7 \text{ см}/\text{с}$ ,  $N_{dn} = 3 \cdot 10^{15} \text{ см}^{-3}$ :

$$I_{\text{скан макс}} = \Pi C_{SiO_2} (V_{zi} - V_{\text{пор}}) V_{se \text{ кан}} = 33,16 \text{ А},$$

$$I_{c \text{ макс}} = q V_{se} N_{dn} H\Pi = 21,6 \text{ А}.$$

Таким образом ток стока при  $V_{zi} - V_{\text{пор}} = 7 \text{ В}$  ограничивается максимальным током, который может протекать через сопротивление  $R_{\text{ст}}$  в условиях насыщения дрейфовой скорости электронов ( $E_x > 2 \cdot 10^4 \text{ В}/\text{см}$ ).

Легко видеть из (13), что при повышении концентрации доноров в  $n^-$ -слое  $N_{dn}$  от  $3 \cdot 10^{15}$  до  $4 \cdot 10^{15} \text{ см}^{-3}$ , ток  $I_{c \text{ макс}}$  через  $n^-$ -слой достигает значения  $I_{c \text{ макс}} = 28,8 \text{ А}$ , которое приближается к величине  $I_{c \text{ как макс}} = 33,16 \text{ А}$ .

## ЛИТЕРАТУРА

1. Елихер А. Физика силовых биполярных и полевых транзисторов: Пер. с англ. Под ред. И. В. Грехова. Л.: Энергоатомиздат. Ленинградское отделение. 1986. 248 с.

2. Никишин В.И., Петров Б.К. и др. Проектирование и технология производства мощных СВЧ транзисторов. М.: Радио и связь. 1989. 144 с.

3. Зи С. Физика полупроводниковых приборов: В 2-х кн. М.: Мир. 1984. Кн. 1. 456 с.

4. Зи С. Физика полупроводниковых приборов: В 2-х кн. М.: Мир. 1984. Кн. 2. 456 с.